

การออกแบบสร้างชุดทดสอบแรงดันไฟฟ้าเบรกดาวนั้ในฉนวนอากาศ
สำหรับความดันอากาศ -30 ถึง 30 ปอนด์ต่อตารางนิ้ว
ระยะแกป 1 ถึง 5 มิลลิเมตร

Design and Construction of Air Insulation Breakdown
Voltage Test Set in Air Pressure -30 to 30 pound per square inch at 1
to 5 millimeters Gap Distance

ธนากร น้าหอมจันทร์¹

บทคัดย่อ

บทความนี้นำเสนอผลการจัดการความรู้ในเรื่องแฟกเตอร์สนามไฟฟ้า โดยแฟกเตอร์สนามไฟฟ้าเป็นค่าที่แสดงถึงรูปลักษณะของอิเล็กโทรดหรือรูปลักษณะของสนามไฟฟ้า แบ่งออกเป็น 3 ลักษณะ คือ (1) อิเล็กโทรดสนามไฟฟ้าสม่ำเสมอ แสดงถึง อิเล็กโทรดแบบระนาบ-ระนาบ โดยมีค่าแฟกเตอร์สนามไฟฟ้าประมาณ 1, (2) อิเล็กโทรดสนามไฟฟ้าไม่สม่ำเสมอเล็กน้อย แสดงถึง อิเล็กโทรดแบบทรงกลม-ทรงกลม หรือ ทรงกลม-ระนาบ คือ โดยมีค่าแฟกเตอร์สนามไฟฟ้าอยู่ในช่วง 0.3 ถึง 0.9 และ (3) อิเล็กโทรดสนามไฟฟ้าไม่สม่ำเสมอสูง แสดงถึง อิเล็กโทรดแบบปลายแหลม-ระนาบ โดยมีค่าแฟกเตอร์สนามไฟฟ้าน้อยกว่า 0.3 การประยุกต์ใช้ค่าแฟกเตอร์สนามไฟฟ้าในการออกแบบอุปกรณ์ทางไฟฟ้าแรงสูง เช่น ขั้วต่อสำหรับทดสอบสายเคเบิลแรงดันสูง โวลเตจดีไว-เคอร์ การออกแบบขนาดของขดลวด L_p และ L_s ของหม้อแปลงทดสอบ การออกแบบตัวนำล่อฟ้า และจุดต่อทางไฟฟ้าแรงดันสูง เป็นต้น

คำสำคัญ: อิเล็กโทรดไฟฟ้าแรงสูง, แฟกเตอร์สนามไฟฟ้า, สนามไฟฟ้าสม่ำเสมอ, สนามไฟฟ้าไม่สม่ำเสมอเล็กน้อย, สนามไฟฟ้าไม่สม่ำเสมอสูง

Abstract

This paper presents the knowledge management of field utilization factors. The field utilization factors are value that represents the characteristics of the high voltage electrodes or the electric field characteristic are divided into three types: (1) uniform field electrodes shown the plane - plane electrode that have field utilization factors $\eta^* \cong 1$, (2) slightly nonuniform field electrodes shown sphere - sphere or sphere - plane electrode that have field utilization factors in range $0.3 \leq \eta^* \cong 0.9$ and (3) highly nonuniform field electrodes shown the rod - plane electrode that have field utilization factors $\eta^* < 0.3$, the field utilization factors applied to the design of high voltage equipments, such as cable

¹อาจารย์ประจำสาขาวิศวกรรมไฟฟ้า คณะวิศวกรรมศาสตร์ มหาวิทยาลัยอีสเทิร์นเอเซีย

E-mail: thanakorn@eau.ac.th

terminator for high voltage testing, high voltage divider, L_p and L_s coils of Tesla Transformer, lightning conductor and high voltage electrical connectors etc.

Keywords: high voltage electrode, field utilization factor, uniform field, slightly nonuniform field, highly nonuniform field

ความนำ

ความคงทนของฉนวนทางไฟฟ้า (dielectric strength) หมายถึง ค่าความคงทนต่อความเครียดสนามไฟฟ้า (electric field stress) สูงสุดที่ฉนวนนั้นสามารถทนได้โดยไม่เกิดความเสียหาย หรือเกิดการเบรกดาวน์ มีหน่วยเป็นค่าแรงดันไฟฟ้าต่อความหนาของฉนวนระหว่างอิเล็กโทรด ความเครียดสนามไฟฟ้าที่ใช้กำหนดค่าความคงทนของการฉนวนทางไฟฟ้า โดยทั่วไปจะหาจากสนามไฟฟ้าสม่ำเสมอ

ความคงทนของการฉนวนต่อความเครียดสนามไฟฟ้าเบรกดาวน์ (E_b) ขึ้นอยู่กับแฟกเตอร์ต่างๆ ดังสมการที่ 1

$$E_b = f(\text{ลักษณะสนามไฟฟ้า, ฉนวน, เวลา}) \quad (1)$$

จากสมการที่ 1 โดยที่

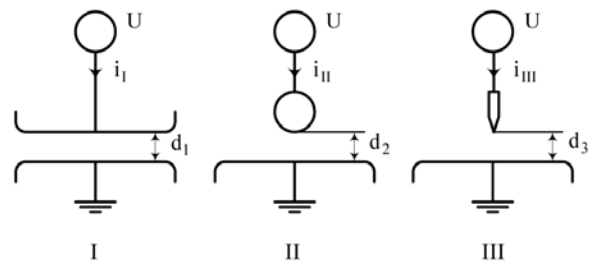
- ลักษณะสนามไฟฟ้า ขึ้นอยู่กับรูปลักษณะของอิเล็กโทรด

- ฉนวน หรือลักษณะสมบัติของฉนวน หมายถึง คุณสมบัติทางไฟฟ้า ทางกล ทางเคมี ของวัสดุฉนวน

- เวลา หมายถึง ช่วงเวลาที่แรงดันคงอยู่ที่ทำให้เกิดความเครียดสนามไฟฟ้าแก่ฉนวน (ศิริวัฒน์ โพธิเวชกุล, 2546; สํารวย สังข์สะอาด, 2549)

ลักษณะรูปแบบสนามไฟฟ้าโดยทั่วไป แบ่งออกได้ 2 ชนิด คือ สนามไฟฟ้าสม่ำเสมอ และสนามไฟฟ้าไม่สม่ำเสมอ ชนิดไม่สม่ำเสมอแบ่งเป็น 2 แบบ คือ แบบไม่สม่ำเสมอเล็กน้อย และแบบไม่สม่ำเสมอสูง ลักษณะรูปแบบสนามไฟฟ้าขึ้นอยู่กับรูปลักษณะของอิเล็กโทรด (ศิริวัฒน์ โพธิเวชกุล, 2546; สํารวย สังข์สะอาด, 2549)

ดังภาพ 1



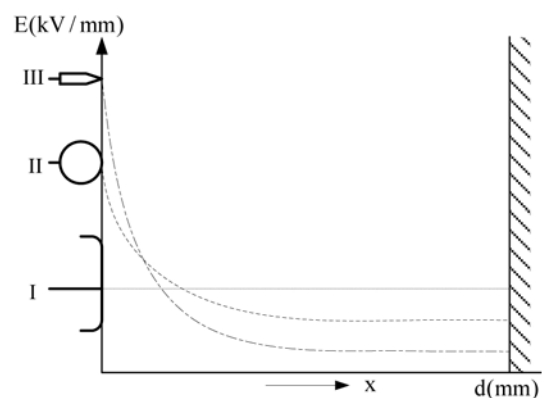
ภาพ 1 อิเล็กโทรดที่มีลักษณะสนามไฟฟ้าแบบต่างๆ

I : สนามไฟฟ้าสม่ำเสมอ

II : สนามไฟฟ้าไม่สม่ำเสมอเล็กน้อย

III : สนามไฟฟ้าไม่สม่ำเสมอสูง

ค่าความคงทนต่อแรงดันไฟฟ้าของวัสดุฉนวนส่วนใหญ่จะเป็นค่าทางสถิติหรือเป็นค่าโดยประมาณ มักกำหนดด้วยค่าความเครียดสนามไฟฟ้าแรงสูงสุด E_{max} ที่เกิดขึ้น ณ จุดใดจุดหนึ่งระหว่างอิเล็กโทรดในขณะที่เกิดเบรกดาวน์เริ่มเกิดขึ้น ในกรณีสนามไฟฟ้าไม่สม่ำเสมอ ความเครียดสนามไฟฟ้าสูงสุดอยู่ในบริเวณผิวอิเล็กโทรดที่มีพื้นผิวน้อยที่สุด เมื่อระยะห่างออกไปจากผิวอิเล็กโทรด ค่าความเครียดสนามไฟฟ้าลดลงอย่างรวดเร็ว ดังภาพ 2



ภาพ 2 การกระจายสนามไฟฟ้าของอิเล็กโทรดรูปลักษณะต่างๆ

จากสมการที่ 1 ภาพที่ 1 และ 2 กล่าวได้ว่าการเกิดการเบรกดาวนเป็นผลมาจากลักษณะของสนามไฟฟ้าดังสมการที่ 2

$$U_b = E_{\max} \times d \times \eta^* \quad (2)$$

โดยที่

- E_{\max} คือ ความเครียดสนามไฟฟ้าสูงสุด (kV/mm)
- U_b คือ แรงดันไฟฟ้า (kV)
- d คือ ระยะห่างระหว่างอิเล็กโทรด (mm)
- η^* คือ แฟกเตอร์สนามไฟฟ้า ($\eta^* \leq 1$)

แฟกเตอร์สนามไฟฟ้า (field utilization factor) ส่วนใหญ่ใช้ค่าโดยประมาณ (ธนกร น้ำหอมจันทร์และคณะ, 2553, หน้า 10; ธนกร น้ำหอมจันทร์, 2554 หน้า 46; ศิริวัฒน์ โปธิเวชกุล, 2546; สำรวย สังข์สะอาด, 2549; สำรวย สังข์สะอาด, 2550; Kuffel, E., Zaengl, W. S. & Kuffel, J., 2000; Naidu, M. S. and Kamaraju, V., 1996) หากประมาณค่าต่ำกว่าความเป็นจริงแล้วอาจส่งผลกระทบต่อฉนวนที่ได้ออกแบบ และในทางตรงกันข้ามถ้าประมาณค่าสูงกว่าความเป็นจริงแล้วส่งผลกระทบต่อขนาดและราคาของอุปกรณ์ไฟฟ้าแรงสูงที่ออกแบบ (ธนกร น้ำหอมจันทร์และคณะ, 2553, หน้า 10; ธนกร น้ำหอมจันทร์, 2554 หน้า 46)

จากที่ได้นำเสนอถึงความสำคัญของค่าแฟกเตอร์สนามไฟฟ้าต่อความคงทนต่อแรงดันไฟฟ้าของวัสดุฉนวนและการออกแบบวัสดุฉนวนข้างต้น ซึ่งผู้เขียนได้มีโอกาสเข้ารับฟังการบรรยายทางวิชาการเรื่อง “วิศวกรรมไฟฟ้าแรงสูงและอีเอ็มซี” และมีประสบการณ์ที่เกี่ยวข้องในการทำงานวิจัยในด้านดังกล่าวอย่างต่อเนื่อง เช่น งานวิจัยเรื่องแฟกเตอร์สนามไฟฟ้าของอิเล็กโทรดชนิดปลายแหลม-ระนาบในฉนวนน้ำมันหม้อแปลง (2553) การศึกษาเปรียบเทียบแฟกเตอร์สนามไฟฟ้าโดยใช้อิเล็กโทรดชนิดปลายแหลม-ระนาบในฉนวนน้ำมันหม้อแปลงและฉนวนอากาศ (2554) แฟกเตอร์สนามไฟฟ้าของอิเล็กโทรดสำหรับทดสอบหาแรงดันไฟฟ้าเบรกดาวนสำหรับฉนวนเหลวตาม

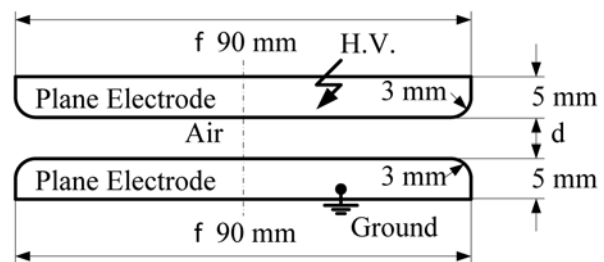
มาตรฐาน IEC 60156 (2554) และ การทดสอบเปรียบเทียบค่าแรงดันไฟฟ้าเบรกดาวนในฉนวนอากาศโดยใช้อิเล็กโทรดแบบระนาบ-ระนาบ และแกปทรงกลมขนาด 5 และ 25 เซนติเมตร (2554) เป็นต้น ซึ่งเป็นการวิจัยที่มุ่งเน้นไปในการศึกษาเรื่องความคงทนของฉนวนทางไฟฟ้า ผลของรูปลักษณะของอิเล็กโทรดไฟฟ้าแรงสูง และแฟกเตอร์สนามไฟฟ้า จึงมีแนวคิดที่จะจัดการความรู้ที่ได้จากการฟังบรรยายพิเศษและการวิจัยที่เกี่ยวข้องกับแฟกเตอร์สนามไฟฟ้าและการประยุกต์ใช้ เพื่อนำเสนอผลการวิจัยและการทดสอบในเชิงตัวเลขที่แน่นอน ซึ่งจะเป็นประโยชน์ต่อนักศึกษาและผู้สนใจด้านการออกแบบวัสดุฉนวนสามารถนำค่าแฟกเตอร์สนามไฟฟ้าจากผลการวิจัยต่างๆ ที่ได้รวบรวมไว้ในบทความวิชาการนี้ นำไปใช้ได้โดยไม่ต้องทำการประมาณค่าต่อไปในอนาคต

ลำดับการนำเสนอในบทความวิชาการฉบับนี้มีดังนี้

1. แฟกเตอร์สนามไฟฟ้าแบบสมมาตร
2. แฟกเตอร์สนามไฟฟ้าไม่สมมาตรเล็กน้อย
3. แฟกเตอร์สนามไฟฟ้าไม่สมมาตรสูง
4. ตัวอย่างการประยุกต์ใช้แฟกเตอร์สนามไฟฟ้าในการออกแบบอุปกรณ์ทางวิศวกรรมไฟฟ้าแรงสูง
5. บทสรุป

แฟกเตอร์สนามไฟฟ้าแบบสมมาตร

เกิดจากอิเล็กโทรดแบบระนาบ-ระนาบ ดังภาพ 1(I) ค่าแฟกเตอร์สนามไฟฟ้า (η^*) จากอิเล็กโทรดชนิดนี้มีค่าสูงที่สุด โดยมากในการออกแบบประมาณค่าที่ $\eta^* \cong 1$ (ธนกร น้ำหอมจันทร์, 2554, หน้า 107; ศิริวัฒน์ โปธิเวชกุล, 2546; สำรวย สังข์สะอาด, 2549; สำรวย สังข์สะอาด, 2550)



ภาพ 3 ขนาดของอิเล็กโทรดระนาบ-ระนาบ

ตัวอย่างผลการวิเคราะห์ค่าแฟกเตอร์สนามไฟฟ้าของอิเล็กโตรดแบบระนาบ-ระนาบ ขนาดดังภาพ 3 ในฉนวนอากาศ ที่ทำการทดสอบด้วยไฟฟ้าแรงดันสูง กระแสตรงชั่วบวก ที่ระยะแกป 1-5 มิลลิเมตร (ธนากร น้ำหอมจันทร์, 2554, หน้า 107) แสดงดังตาราง 1

ตาราง 1

ค่าแฟกเตอร์สนามไฟฟ้าของอิเล็กโตรดสนามไฟฟ้าแบบสมมาตร ที่ระยะแกป 1-5 มิลลิเมตร

| d (mm) | $U_{b(AVG)}$ (kV) | E_{max} (kV/mm) | η^* |
|-----------|----------------------|----------------------|----------|
| 1 | 3.21 | 3.21 | 1.000 |
| 2 | 6.42 | 3.21 | 1.000 |
| 3 | 9.61 | 3.21 | 0.998 |
| 4 | 12.84 | 3.21 | 1.000 |
| 5 | 16.01 | 3.21 | 0.998 |

จากตาราง 1 พบว่าค่าแฟกเตอร์สนามไฟฟ้าของอิเล็กโตรดแบบสมมาตรหรืออิเล็กโตรดแบบระนาบ-ระนาบมีค่าประมาณ 1 ทั้งนี้เนื่องจากสนามไฟฟ้าระหว่างอิเล็กโตรดแบบระนาบ-ระนาบมีค่าคงที่ตลอดระยะแกป ดังภาพ 2(I)

แฟกเตอร์สนามไฟฟ้าไม่สมมาตรเล็กน้อย

เกิดจากอิเล็กโตรดแบบทรงกลม-ทรงกลม หรือ ทรงกลม-ระนาบ ดังภาพที่ 1(II) ค่าแฟกเตอร์สนามไฟฟ้าของอิเล็กโตรดชนิดนี้จะอยู่ในช่วง $0.3 \leq \eta^* \leq 0.9$ ทั้งนี้ขึ้นอยู่กับขนาดเส้นผ่านศูนย์กลางของอิเล็กโตรด และระยะแกป (ธนากร น้ำหอมจันทร์, 2554 หน้า 107; ธนากร น้ำหอมจันทร์, 2554, หน้า 547; ศิริวัฒน์ โพธิเวชกุล, 2546; สำรวย สังข์สะอาด, 2549; สำรวย สังข์สะอาด, 2550)

ตัวอย่างผลการวิเคราะห์ค่าแฟกเตอร์สนามไฟฟ้าของแกปทรงกลมตามมาตรฐาน IEC 60052 ขนาดเส้นผ่านศูนย์กลาง 5 และ 25 เซนติเมตร ในฉนวนอากาศ ที่ทำการทดสอบด้วยแรงดันสูงกระแสตรงชั่วบวก ระยะแกป

1 ถึง 5 มิลลิเมตร (ธนากร น้ำหอมจันทร์, 2554, หน้า 107) แสดงดังตาราง 2 และ 3

ตาราง 2

ค่าแฟกเตอร์สนามไฟฟ้าของแกปทรงกลมขนาดเส้นผ่านศูนย์กลาง 5 เซนติเมตร ที่ระยะแกป 1-5 มิลลิเมตร

| d (mm) | $U_{b(AVG)}$ (kV) | E_{max} (kV/mm) | η^* |
|-----------|----------------------|----------------------|----------|
| 1 | 4.70 | 3.86 | 1.218 |
| 2 | 7.53 | 3.86 | 0.975 |
| 3 | 11.02 | 3.86 | 0.952 |
| 4 | 14.59 | 3.86 | 0.945 |
| 5 | 17.56 | 3.86 | 0.910 |

ตาราง 3

ค่าแฟกเตอร์สนามไฟฟ้าของแกปทรงกลมขนาดเส้นผ่านศูนย์กลาง 25 เซนติเมตร ที่ระยะแกป 1-5 มิลลิเมตร

| d (mm) | $U_{b(AVG)}$ (kV) | E_{max} (kV/mm) | η^* |
|-----------|----------------------|----------------------|----------|
| 1 | 4.25 | 3.58 | 1.187 |
| 2 | 7.05 | 3.58 | 0.985 |
| 3 | 10.14 | 3.58 | 0.944 |
| 4 | 13.50 | 3.58 | 0.943 |
| 5 | 16.86 | 3.58 | 0.942 |

ผลการวิเคราะห์ค่าแฟกเตอร์สนามไฟฟ้าของอิเล็กโตรดสำหรับทดสอบแรงดันไฟฟ้าเบรกดาว์นของฉนวนเหลวตามมาตรฐาน IEC 60156 แบบทรงกลม และแบบทรงกลมบางส่วน ที่ทดสอบด้วยแรงดันสูงกระแสสลับ ระยะแกป 0.5 ถึง 2.5 มิลลิเมตร แสดงดังตาราง 4

จากตาราง 2 ถึง 4 พบว่าค่าแฟกเตอร์สนามไฟฟ้าของอิเล็กโตรดแบบไม่สมมาตรเล็กน้อยหรืออิเล็กโตรดแบบทรงกลม-ทรงกลม มีค่าประมาณ 1 เช่นเดียวกับสนามไฟฟ้าแบบสมมาตร ทั้งนี้เนื่องจากระยะแกปจากการทดสอบแคบเมื่อเทียบกับขนาดเส้นผ่านศูนย์กลางของอิเล็กโตรด อีกทั้งที่ผิวของอิเล็กโตรดที่มีพื้นที่เล็กที่สุดมีค่าสนามไฟฟ้าสูง ดังภาพ 2(II) สำหรับผลการทดสอบใน

ระยะแกปที่กว้างขึ้นพบว่าค่าแฟกเตอร์สนามไฟฟ้าของ
อิเล็กโตรดทรงกลม-ทรงกลมจะต่ำลง (ธนากร น้ำหอมจันทร์,
2554, หน้า 34-41) โดยอยู่ในช่วง $0.3 \leq \eta^* \leq 0.9$

ตาราง 4

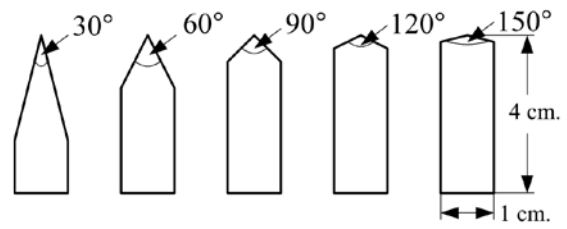
ค่าแฟกเตอร์สนามไฟฟ้าของอิเล็กโตรดสำหรับทดสอบ
แรงดันไฟฟ้าเบรกดาวนซ์ของฉนวนเหลวตามมาตรฐาน
IEC 60156 (ธนากร น้ำหอมจันทร์, 2554, หน้า 547)

| d (mm) | η^* | |
|-----------|-----------|-------------------|
| | Spherical | Partial Spherical |
| 0.5 | 0.983 | 0.996 |
| 1.0 | 0.968 | 0.991 |
| 1.5 | 0.959 | 0.987 |
| 2.0 | 0.941 | 0.983 |
| 2.5 | 0.934 | 0.980 |

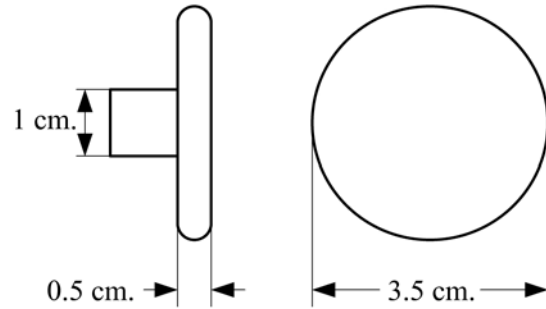
แฟกเตอร์สนามไฟฟ้าไม่สม่ำเสมอสูง

เกิดจากอิเล็กโตรดแบบปลายแหลม-ระนาบ
ดังภาพที่ 1(III) ค่าแฟกเตอร์สนามไฟฟ้าของอิเล็กโตรด
ชนิดนี้อยู่ในช่วง $\eta^* < 0.3$ ทั้งนี้ขึ้นอยู่กับมุมของอิเล็กโตรด
และระยะแกป (ธนากร น้ำหอมจันทร์และคณะ, 2553,
หน้า 13; ธนากร น้ำหอมจันทร์, 2554 หน้า 50; ฤทธิเดช
เกาะหวาย และคณะ 2552, หน้า 101; ศิริวัฒน์ โพธิเวชกุล,
2546; สำรวย สังข์สะอาด, 2549; สำรวย สังข์สะอาด,
2550)

ตัวอย่างค่าแฟกเตอร์สนามไฟฟ้าของอิเล็กโตรด
แบบปลายแหลม-ระนาบ ขนาดดังภาพ 4 ในฉนวนอากาศ
และฉนวนน้ำมันหม้อแปลง ที่ทำการทดสอบด้วยแรงดันสูง
กระแสสลับ ระยะแกป 1 ถึง 3 มิลลิเมตร (ธนากร น้ำหอมจันทร์
และคณะ, 2553, หน้า 13; ธนากร น้ำหอมจันทร์, 2554
หน้า 50; ฤทธิเดช เกาะหวาย และคณะ 2552, หน้า 101)
แสดงดังตาราง 5



I ขนาดของอิเล็กโตรดปลายแหลม



II ขนาดของอิเล็กโตรดระนาบ

ภาพ 4 ขนาดของอิเล็กโตรดปลายแหลม-ระนาบ

จากตาราง 5 พบว่า แฟกเตอร์สนามไฟฟ้าของ
อิเล็กโตรดสนามไฟฟ้าไม่สม่ำเสมอสูงหรืออิเล็กโตรด
แบบปลายแหลม-ระนาบ มีค่าต่ำเมื่อมุมของอิเล็กโตรด
ปลายแหลมมีค่าต่ำและจะมีค่าสูงขึ้นเมื่อมุมของอิเล็กโตรด
มีค่ามากขึ้น ซึ่งแสดงถึงความสม่ำเสมอของสนามไฟฟ้า
จะเพิ่มมากขึ้นเมื่อมุมของอิเล็กโตรดเข้าใกล้ระนาบ และ
ค่าแฟกเตอร์สนามไฟฟ้าจะสูงขึ้นเมื่อระยะแกปเพิ่มมากขึ้น
เช่นกัน ดังภาพ 2(III) ทั้งนี้ค่าแฟกเตอร์สนามไฟฟ้ามีค่า
ใกล้เคียงกันทั้งในฉนวนอากาศและฉนวนน้ำมันหม้อแปลง
กล่าวคือเมื่อระยะแกปเพิ่มมากขึ้นค่าแรงดันไฟฟ้า
เบรกดาวนซ์สูงขึ้นและค่าความเครียดสนามไฟฟ้าจะสูงขึ้น
เช่นกัน ในทุกชนิดของวัสดุฉนวน ดังสมการ (2)

ตาราง 5

ค่าแฟกเตอร์สนามไฟฟ้าของอิเล็กโตรดแบบปลายแหลม-ระนาบ ในฉนวนอากาศและฉนวนน้ำมันหม้อแปลง ที่ระยะแกป 1 ถึง 3 มิลลิเมตร (ธนากร น้ำหอมจันทร์และคณะ, 2553, หน้า 13; ธนากร น้ำหอมจันทร์, 2554 หน้า 50; อุทธิเดช เกาะหวาย และคณะ 2552, หน้า 101)

| Electrode Angle | 1 mm | | 2 mm | | 3 mm | |
|-----------------|------|------|------|------|------|------|
| | Air | Oil | Air | Oil | Air | Oil |
| 30° | 0.57 | 0.64 | 0.67 | 0.67 | 0.65 | 0.65 |
| 60° | 0.72 | 0.71 | 0.69 | 0.69 | 0.68 | 0.69 |
| 90° | 0.72 | 0.72 | 0.73 | 0.59 | 0.68 | 0.68 |
| 120° | 0.77 | 0.77 | 0.77 | 0.77 | 0.76 | 0.74 |
| 150° | 0.87 | 0.85 | 0.84 | 0.84 | 0.84 | 0.84 |

หมายเหตุ Air หมายถึง ฉนวนอากาศ
Oil หมายถึง ฉนวนน้ำมันหม้อแปลง

ตัวอย่างการประยุกต์ใช้แฟกเตอร์สนามไฟฟ้าในการออกแบบอุปกรณ์ทางวิศวกรรมไฟฟ้าแรงสูง

อุปกรณ์ไฟฟ้าแรงสูงโดยมากมีรูปทรงกระบอกและทรงกลม ซึ่งจะแสดงสนามไฟฟ้าไม่สม่ำเสมอเล็กน้อยโดยมีวัตถุประสงค์เพื่อควบคุมความเครียดสนามไฟฟ้าในการออกแบบอุปกรณ์ไฟฟ้าแรงสูงที่มีสนามไฟฟ้าไม่สม่ำเสมอเล็กน้อย ในการออกแบบพิจารณาจากระดับแรงดันใช้งาน ชนิดของวัสดุฉนวน และขนาดเส้นผ่านศูนย์กลางของอุปกรณ์และระยะห่างกับส่วนที่เป็นกราวด์ซึ่งขนาดเส้นผ่านศูนย์กลางสัมพันธ์กับค่า แฟกเตอร์สนามไฟฟ้า นอกจากนี้อิเล็กโตรดทรงกลม-ระนาบ ดังภาพ 1(II) แล้ว ยังมีรูปทรงของอุปกรณ์ไฟฟ้าแรงสูงที่พบเห็นได้โดยทั่วไป คือ ทรงกระบอกซ้อนกันรวม ซึ่งเป็นรูปทรงที่แสดงถึงสนามไฟฟ้าแบบไม่สม่ำเสมอเล็กน้อย ในการออกแบบจะพิจารณาระยะห่างระหว่างอิเล็กโตรดนอกและใน โดยที่ระยะห่างระหว่างอิเล็กโตรดแคบจะส่งผลให้อุปกรณ์มีขนาดเล็ก แรงดันไฟฟ้าเบรกดาวน์ต่ำ และค่าความเครียดสนามไฟฟ้าสูง ในกรณีที่ระยะห่างระหว่างอิเล็กโตรดกว้างจะส่งผลให้อุปกรณ์มีขนาดใหญ่ แรงดัน

ไฟฟ้าเบรกดาวน์สูง และค่าความเครียดสนามไฟฟ้าต่ำ ในการออกแบบให้มีมิติที่เหมาะสมจะออกแบบโดยพิจารณาจากขนาดเส้นผ่านศูนย์กลางและค่าแฟกเตอร์สนามไฟฟ้าแสดงดังสมการที่ 3 และ 4

$$\eta^* = \frac{r_1 \ln \frac{r_2}{r_1}}{(r_2 - r_1)} \tag{3}$$

$$e = \left(\frac{r_2}{r_1} \right)_{opt} \tag{4}$$

โดยที่

- r_2 คือ รัศมีของอิเล็กโตรดอันนอก
- r_1 คือ รัศมีของอิเล็กโตรดอันใน
- e คือ ค่า exponential

ตัวอย่างการวิจัยเกี่ยวกับการออกแบบอุปกรณ์ไฟฟ้าแรงสูงโดยใช้วิธีดังกล่าว แสดงดังนี้

- ข้อต่อสำหรับทดสอบหาดีสชาร์จบางส่วนในสายเคเบิลใต้ดินแรงดันสูง พิกัด 12/20(24) kV, 240 sq.mm. (ธนากร น้ำหอมจันทร์ และคณะ, 2551, หน้า 73-79)
- การศึกษาการใช้ Stress cone เพื่อใช้ทดสอบหาดีสชาร์จบางส่วนในสายเคเบิล (ธนากร น้ำหอมจันทร์ และคณะ, 2551, หน้า 319-334)
- คาปาซิทีฟโวลเตจดีไวเดอร์ พิกัดแรงดัน 20 กิโลโวลต์ 50 เฮิร์ตซ์ โดยใช้อิเล็กโตรดทรงกระบอกซ้อนกันรวม 3 ชั้น ร่วมกับฉนวนน้ำมันหม้อแปลง (ธนากร น้ำหอมจันทร์ และคณะ, 2552, หน้า 293-300)
- ผลของการอัดประจุไฟฟ้าให้กับฝุ่น เพื่อเพิ่มประสิทธิภาพในการดักฝุ่น (พงษ์สวัสดิ์ คชภูมิ และคณะ, 2551, หน้า 591-595)
- การวิเคราะห์ค่าความเครียดสนามไฟฟ้าแรงสูงในขดลวด LP และ Ls ของหม้อแปลงเตสลา เพื่อศึกษาหาประสิทธิภาพของการออกแบบสร้าง (สมเกียรติ ทองแก้ว

และคณะ, 2550, หน้า 301-304)

ตัวอย่างการประยุกต์แพกเตอร์สนามไฟฟ้ากับอุปกรณ์ไฟฟ้าแรงสูงที่มีลักษณะสนามไฟฟ้าแบบไม่สม่ำเสมอสูง โดยมากใช้ในการออกแบบตัวนำล่อฟ้าโดยตัวนำล่อฟ้าที่มีรูปลักษณะปลายแหลมหรือค่าแพกเตอร์สนามไฟฟ้าต่ำจะสามารถสร้างสตรีมเมอร์ได้ดีกว่าหรือมีประสิทธิภาพสูงกว่าตัวนำล่อฟ้าที่มีค่าแพกเตอร์สนามไฟฟ้าสูง (ธนากร น้ำหอมจันทร์ และคณะ, 2553, หน้า 29-39; ธนากร น้ำหอมจันทร์ และคณะ, 2554, หน้า 76-84) รวมถึงการวิเคราะห์หาผลของความเครียดสนามไฟฟ้าที่เกิดจากรูปลักษณะของจุดต่อทางไฟฟ้าในหม้อแปลงไฟฟ้ากำลัง (Thipcharoen, N., et al., 2008) เป็นต้น

บทสรุป

ความคงทนของฉนวนทางไฟฟ้า หมายถึง ค่าความคงทนต่อความเครียดสนามไฟฟ้าสูงสุดที่ฉนวนนั้นสามารถทนได้ มีหน่วยเป็นค่าแรงดันไฟฟ้าต่อความหนาของฉนวนระหว่างอิเล็กโตรด ความคงทนของการฉนวนต่อความเครียดสนามไฟฟ้าเบรกดาวนจ์ขึ้นอยู่กับแพกเตอร์ต่างๆ คือ ลักษณะสมบัติของฉนวน ช่วงเวลาที่แรงดันคงอยู่ทำให้เกิดความเครียดสนามไฟฟ้าแก่ฉนวน และแพกเตอร์สนามไฟฟ้า

แพกเตอร์สนามไฟฟ้าเป็นค่าที่แสดงถึงรูปลักษณะของอิเล็กโตรดหรือรูปลักษณะของสนามไฟฟ้า แบ่งออกเป็น 3 ลักษณะ คือ อิเล็กโตรดสนามไฟฟ้าสม่ำเสมอ แสดงถึง

อิเล็กโตรดแบบระนาบ-ระนาบ คือ อิเล็กโตรดที่มีสนามไฟฟ้าระหว่างอิเล็กโตรดเท่ากันตลอดช่วงระยะแกป โดยมีค่าแพกเตอร์สนามไฟฟ้า $\eta^* \cong 1$ อิเล็กโตรดสนามไฟฟ้าไม่สม่ำเสมอเล็กน้อย แสดงถึง อิเล็กโตรดแบบทรงกลม-ทรงกลม หรือ ทรงกลม-ระนาบ คือ อิเล็กโตรดที่มีสนามไฟฟ้าสูงสุดอยู่ที่บริเวณพื้นที่ที่เล็กที่สุดของอิเล็กโตรดและจะมีค่าต่ำลงเมื่อระยะห่างออกไป โดยมีค่าแพกเตอร์สนามไฟฟ้าอยู่ในช่วง $0.3 \leq \eta^* \cong 0.9$ และอิเล็กโตรดสนามไฟฟ้าไม่สม่ำเสมอสูง แสดงถึง อิเล็กโตรดแบบปลายแหลม-ระนาบ คือ อิเล็กโตรดที่มีสนามไฟฟ้าสูงสุดอยู่ที่บริเวณพื้นที่ที่เล็กที่สุดของอิเล็กโตรดและจะมีค่าต่ำลงเมื่อระยะห่างออกไป เช่นเดียวกับอิเล็กโตรดสนามไฟฟ้าไม่สม่ำเสมอเล็กน้อย แต่ค่าสนามไฟฟ้าสูงสุดที่ผิวอิเล็กโตรดจะสูงกว่าและจะต่ำกว่าเมื่อระยะห่างออกไป ดังภาพ 2(III) โดยมีค่าแพกเตอร์สนามไฟฟ้า $\eta^* < 0.3$

ตัวอย่างการประยุกต์ใช้ค่าแพกเตอร์สนามไฟฟ้าในการออกแบบอุปกรณ์ทางไฟฟ้าแรงสูงสำหรับสนามไฟฟ้าแบบไม่สม่ำเสมอเล็กน้อย โดยมากจะเป็นอุปกรณ์ที่มีลักษณะทรงกระบอกซ้อนกันร่วม เช่น ขั้วต่อสำหรับทดสอบสายเคเบิลแรงดันสูง โวลเตจดิ-ไวเตอร์ การออกแบบขนาดของขดลวด LP และ Ls ของหม้อแปลงทดสอบ เป็นต้น สำหรับสนามไฟฟ้าไม่สม่ำเสมอสูง โดยมากใช้ในการออกแบบตัวนำล่อฟ้า และจุดต่อทางไฟฟ้าแรงดันสูง เป็นต้น

เอกสารอ้างอิง

- ธนากร น้ำหอมจันทร์, อติกร เสรีพัฒนานนท์, พงษ์สวัสดิ์ คชภูมิ และ สุพิศ บุญรัตน์. (2551). ข้อต่อสำหรับทดสอบหา
ดิซซาร์จบางส่วนในสายเคเบิลใต้ดินแรงดันสูง พิกัด 12/20 (24) kV 240 sq.mm.. *การประชุมวิชาการ
มหาวิทยาลัยรังสิต ประจำปี 2551*, หน้า 73-79.
- ธนากร น้ำหอมจันทร์, อติกร เสรีพัฒนานนท์ และ พงษ์สวัสดิ์ คชภูมิ. (2551). การศึกษาการใช้ Stress cone เพื่อใช้
ทดสอบหาดิซซาร์จบางส่วนในสายเคเบิล. *วารสารวิจัยและพัฒนา มจร.*, 31(2), หน้า 319-334.
- ธนากร น้ำหอมจันทร์, อติกร เสรีพัฒนานนท์, พงษ์สวัสดิ์ คชภูมิ และ สุพิศ บุญรัตน์. (2552). คาปาซิทีฟโวลเตจดี
ไวเตอร์ พิกัดแรงดัน 20 กิโลโวลท์ 50 เฮิร์ตซ์ โดยใช้อิเล็กทรอนิกส์ทรานซิสเตอร์แบบบ็อกซ์ออนแกนร่วม 3 ชั้น ร่วมกับ
ฉนวนน้ำมันหม้อแปลง. *การประชุมทางวิชาการ มหาวิทยาลัยเกษตรศาสตร์ ครั้งที่ 47*, หน้า 293-300.
- ธนากร น้ำหอมจันทร์, อติกร เสรีพัฒนานนท์ และ พงษ์สวัสดิ์ คชภูมิ. (2553). แฟลคเตอร์สนามไฟฟ้าของอิเล็กทรอนิกส์
ชนิดปลายแหลม-ระนาบในฉนวนน้ำมันหม้อแปลง. *วารสารวิศวกรรมศาสตร์ มหาวิทยาลัยสยาม*, 11(2), หน้า
9-16.
- ธนากร น้ำหอมจันทร์, อติกร เสรีพัฒนานนท์ และ พงษ์สวัสดิ์ คชภูมิ. (2553). การศึกษาผลของรูปลักษณะตัวนำต่อฟ้า
ต่อคุณสมบัติในการทำงานของตัวนำต่อฟ้า. *วารสารวิศวกรรมศาสตร์ราชภัฏธนบุรี*, 8(1), หน้า 29-39.
- ธนากร น้ำหอมจันทร์, อติกร เสรีพัฒนานนท์ และ พงษ์สวัสดิ์ คชภูมิ. (2554). การศึกษาผลของค่าความต้านทานดิน
ต่อประสิทธิภาพตัวนำต่อฟ้า. *วารสารวิชาการมหาวิทยาลัยอีสเทิร์นเอเชีย EAU Heritage Journal*, 5(1),
หน้า 76-84.
- ธนากร น้ำหอมจันทร์. (2554). การทดสอบเปรียบเทียบแรงดันไฟฟ้าเบรกดาวน์ในฉนวนอากาศโดยใช้แถบทรงกลม
ขนาดเส้นผ่านศูนย์กลาง 5 และ 25 เซนติเมตร. *วารสารวิชาการ วิศวกรรมศาสตร์ ม.อบ.*, 4(1), หน้า 34-41.
- ธนากร น้ำหอมจันทร์. (2554). การศึกษาเปรียบเทียบแฟลคเตอร์สนามไฟฟ้าโดยใช้อิเล็กทรอนิกส์ชนิดปลายแหลม-ระนาบ
ในฉนวนน้ำมันหม้อแปลงและฉนวนอากาศ. *วารสารวิศวกรรมศาสตร์ มหาวิทยาลัยสยาม*, 12(2), หน้า 45 - 52.
- ธนากร น้ำหอมจันทร์. (2554). การทดสอบเปรียบเทียบค่าแรงดันไฟฟ้าเบรกดาวน์ในฉนวนอากาศโดยใช้อิเล็กทรอนิกส์
แบบระนาบ-ระนาบ และแถบทรงกลมขนาด 5 และ 25 เซนติเมตร. *วารสารวิชาการมหาวิทยาลัยอีสเทิร์นเอเชีย
EAU Heritage Journal*, 5(2), หน้า 103-109.
- ธนากร น้ำหอมจันทร์. (2554). แฟลคเตอร์สนามไฟฟ้าของอิเล็กทรอนิกส์สำหรับทดสอบหาแรงดันไฟฟ้าเบรกดาวน์สำหรับ
ฉนวนเหลวตามมาตรฐาน IEC 60156. *วารสารวิชาการพระจอมเกล้าพระนครเหนือ*, 21(3), หน้า 541-548.
- พงษ์สวัสดิ์ คชภูมิ, ธนากร น้ำหอมจันทร์, อติกร เสรีพัฒนานนท์ และ สุพิศ บุญรัตน์. (2551). ผลของการอัดประจุไฟฟ้า
ให้กับฝุ่นเพื่อเพิ่มประสิทธิภาพในการดักฝุ่น. *การประชุมวิชาการช่างงานวิศวกรรมอุตสาหกรรม ประจำปี พ.ศ.
2551*, หน้า 591-595.
- ฤทธิเดช เกาะห้วย, เสาวลักษณ์ จันท้าว, ธนากร น้ำหอมจันทร์, อติกร เสรีพัฒนานนท์ และ พงษ์สวัสดิ์ คชภูมิ. (2552).
แฟลคเตอร์สนามไฟฟ้าของอิเล็กทรอนิกส์ชนิดปลายแหลม-ระนาบในฉนวนอากาศ. *การประชุมวิชาการและแสดงผลงาน
ทางวิชาการ พระจอมเกล้าลาดกระบัง ประจำปี 2552*, หน้า 96-102.
- ศิริวัฒน์ โปธิเวชกุล, (2546). *เอกสารประกอบการสอนวิศวกรรมไฟฟ้าแรงสูงขั้นสูง*. กรุงเทพมหานคร: ภาควิชา
วิศวกรรมไฟฟ้า คณะวิศวกรรมศาสตร์ สถาบันเทคโนโลยีพระจอมเกล้าเจ้าคุณทหารลาดกระบัง.

- สำรวย สัจจะสะอาด. (2549). *วิศวกรรมไฟฟ้าแรงสูง*. กรุงเทพมหานคร: จุฬาลงกรณ์มหาวิทยาลัย.
- สำรวย สัจจะสะอาด. (2550). เอกสารประกอบการบรรยายทางวิชาการเรื่อง “วิศวกรรมไฟฟ้าแรงสูงและอีเอ็มซี”.
- สมเกียรติ ทองแก้ว, ศุภวุฒิ เนตรโพธิ์แก้ว, บุญยัง ปลั่งกลาง และ ธนากร น้ำหอมจันทร์. (2550). การวิเคราะห์ค่าความเครียดสนามไฟฟ้าแรงสูงในจุดลวด L_p และ L_s ของหม้อแปลงทดสอบ เพื่อศึกษาหาประสิทธิภาพของการออกแบบสร้าง. *การประชุมวิชาการทางวิศวกรรมไฟฟ้า ครั้งที่ 30*, หน้า 301-304.
- Kuffel, E., Zaengl, W. S. & Kuffel, J. (2000). *High Voltage Engineering :Fundamentals*. (2nd. ed.). Great Britain: Newnes.
- Naidu, M. S. & Kamaraju, V. (1996). *High Voltage Engineering* (2nd ed.). New York: McGraw-Hill.
- Nuchit Thipcharoen, Kreingsak Srisuk, Atigon Sarephattananon and Thanakorn Namhormchan. (2008). The Case Studies of Cause Investigation and Repair of 60 MVA MEA on-site Power Transformers. *17th Conference of the Electric Power Supply Industry, Macao SAR, China*. 10 .27-31, Oct 28 (2.2) tract 12.